

261038

氧化物陰極

第二卷

G. 赫孟, S. 華庚納著

商務印書館

5061

627/441

T.2

261038

5061

(27/24)

72

极阴物质化氧

第二卷

G. 赫孟, S. 华庚納著
沈庆垓譯

商务印书馆

1959年·北京

本书是根据英国 Chapman and Hall Ltd. 出版的“氧化物阴极”(The Oxide-Coated Cathode)第二卷 1951 年版译出的。英文本系由德文原本译成，德文原本的著者是赫孟 (G. Herrmann) 和华庚纳 (S. Wagener)，英文译本的译者是华庚纳。本书第一卷论述氧化物阴极的制造技术，已由我馆于 1956 年出版。第二卷讲解有关的物理现象。

本书可供电子管制造技术工作者及研究工作者阅读，亦可作为电子管制造、电气真空等专业以及物理系电子学方面的参考用书。

氧化物阴极

第二卷

G. 赫孟 S. 华庚纳著 沈庆培译

商务印书馆出版

北京东四胡同 10 号

(北京市书刊出版业营业登记证字第 107 号)

新华书店总经售

上海市印刷三厂印刷

统一书号：13017·196

1959 年 11 月出版 开本 850×1168 1/32

1959 年 11 月上海第 1 次印刷 字数 259,000

印张 10 11/16 印数 1—3,500

定价：(10)1.60 元

第二卷序

氧化物阴極的理論基础，必然要比純金屬阴極的寬广得多。这是因为，氧化物阴極是一种离子固体，研究它的电子發射机理时，必須同时考虑到其中的导电現象和扩散現象。因此，我們在这里对氧化物阴極的理論作專門的探討，是完全合理的。

当作者們开始著述本書时，原来以为，本書的內容可以局限于氧化物阴極的實驗工作和理論解釋的討論。然而，不久就認識到，对于必須用到的基本原理的某些部分，并不能假定每一位讀者都已深切了解。关于这些基本原理的新近論著，可以信靠的为数不多，何况还有不少爭持未決的論点需要澄清。因此，本書的題材必須包括这些基本原理的討論，这部分內容，包括在“热电子發射”和“离子固体中的現象”这两章中。此外，对于电子發射体的逸出功的量測法，也另立專章論述。因为这些基本概念几乎占据了一半的篇幅，所以我們選用了“金屬和半导体的热电子發射，”作为本卷的副題。

对热电子發射作一般性的討論时，必須在两种可能的處理方法之間选取其一：用热力学法，还是用統計法？我們認為，同时采用两种方法，或者在不同的章节中交替采用两种方法，都行不通。我們選用了統計法，因为这种方法，能够使我們对發射电子的情况获得清楚的概念。可是，我們决不能因此而認為，热力学法完全不适用。如所周知，热力学法是有其优点的，它所得出的結果，具有比較普遍的意义。

討論氧化物阴極的机理时，必須采用某一种模型。最近十五

年来提出的所謂“半导体模型”，看来是比较合适的。我們試圖證明，这个模型为进一步的研究工作奠定了可靠的基础。本書中对这个問題專辟一章。在这一章中，凡是比較次要的現象，例如，基金屬和殘余气体的影响，都有意識地忽略不提。所謂“次要”，仅仅是指它們和發射机理的关系而言，并不是指它們在实用上的重要性。事实上，人們已經深切体会到，正是这些現象，阻碍着氧化物阴極的实际应用。因此，在本書的最后两章中，对这些現象作了詳尽的討論。

由于已經完成的研究工作浩如烟海，而且其中不少的結果并不完全一致，因之选取資料的接触面必須相當广泛才行。我們認為，对每一件已經發表的有关氧化物阴極的著作，都有必要加以討論，或者至少要提一提。希望这样的做法，不但对于初入門的新手，而且对于在这領域中工作多年的人士，都有裨益。本書所援引的文献，到 1950 年初为止。

本書中一般采用的單位，是乔吉的合理化米-公斤-秒單位(米，公斤，和秒，以及相应的电學單位：安培，伏特等等)。仅仅在少数情況中，例如，在使用密度时，我們認為，采用这些單位並不合适。(質量的)密度，按照通常的慣例，用“克/立方厘米”表示，电流密度用“安培/平方厘米”表示，而电子密度一般是指在 1 立方厘米的單位体积內而言。凡是在采用其他單位的地方，都已一一加以表明。

G. 赫 孟

S. 华庚納

1951 年 1 月

符号和常数

A, A₀	發射方程式中的常数	N	单位体积内的电子数
A_w	原子量	P	功率
B	常数	P_H	加热功率
C	普适常数, $C = \frac{2\pi mk}{h^2}$	P_{cool}	冷却功率
D	扩散常数	Q	热量
D_e	电子透射系数	R	电阻
E	能量	R_c	逸层电阻
E	电场强度	S	表面积
F	表示一个函数	S_t	阴极全面积
F	力	S_c	逸层面积
G	占据同一个能级的电子数 (容占额)	S_e	发射面积
H	霍耳常数	T	温度(°K)
H	磁场强度	T_a	真正温度
I	电流	T_b	明亮温度
I_e	发射电流	U	接触位差
I_{ph}	光电流	V	电位, 电压
I_r	减速场电流	W	阴极效率
I_s	饱和电流	X, Y	空间的点
I_{sp}	空间电荷电流	Z	原子序数
I*	峰电流	a	电导率公式中的常数
J	积分	b	加速度
K	常数	c	浓度
L	阿伏伽特罗常数	c	光速
M	分子量	d	阴极与阳极的间隔, 或点阵常数
M	偶极矩		

d_0	氧化層厚度		率公式中, 从实验求得的指 数值
e	电子电荷	γ	无序度
e_i	总辐射率	δ	密度
e_λ	光谱辐射率	ϵ	介电常数
f	函数	ϵ_0	真空的介电常数
h	热膨胀系数	ζ	费密分布定律中的极限能量 (费密能级)
h	普朗克常数	η	每一原子中自由电子的数量
j	电流密度	θ	价
k	常数	χ	电导率
k	波耳兹曼常数	χ_1	离子电导率
l	长度	λ	波长
m	质量	μ_0	真空的磁导率
m	电子质量	ν	频率
n	原子, 离子等的数量	ξ	电离电位
n_e	电子折射系数	ξ^*	电子亲合能
p	压力	ρ	空间电荷密度
p_1	动量坐标	σ	半导体的干涉能级
q	截面	τ	表面的总位垒
q_t	位置坐标	ϕ	内逸出功
r	原子或离子的半径	χ	导带下限
s	单位面积上原子或离子的数 量	ψ	外逸出功
t	时间	ω	射出电子离开表面以后的平 均能量
u	迁移率	Δ	表示差值
u_i	离子迁移率	Γ	扩散和离子导电的激活能
v	速度	Θ	原子膜阴极表面被吸附的原 子或离子所复盖的分数 (被 复度)
x y z	特殊的位置坐标	Σ	无序能
α	极化常数		
β	在指数性的发射公式和电导		

Ξ	晶体点阵中隙座面前的位垒	$L = 6.023 \times 10^{23}$ 分子 / M 克
Φ	吸附能	$\epsilon_0 = 8.855 \times 10^{-12}$ (安培) (秒)/(伏特)
ψ	总逸出功	(米)
$\psi_{(ph)}$	光电逸出功	$\mu_0 = 1.257 \times 10^{-6}$ (伏特) (秒) /(安培)
常 数		(米)
$c = 2.977 \times 10^8$ 米/秒	$e/m = 1.759 \times 10^{11}$ 库/公斤	
$e = 1.602 \times 10^{-19}$ 库	$e/k = 1.161 \times 10^4$ 度/伏特	
$h = 6.622 \times 10^{-34}$ (瓦) (秒) ²	$\omega = kT/e = 8.617 \times 10^{-5}T$ 电子伏特	
$k = 1.380 \times 10^{-23}$ (瓦) (秒)/度	$C = 1.801 \times 10^{14}$ / (米) ² (度)	
$m = 9.107 \times 10^{-31}$ 公斤	$A_0 = 120$ 安培/(厘米) ² (度) ²	

第二卷目录

第二卷序.....	vi
符号和常数.....	viii
第一章 金屬的热电子發射.....	1
1. 金屬中电子能量的費密-狄拉克分布.....	1
2. 金屬表面的位壘.....	14
3. 电子逾越金屬和真空的边界.....	22
4. 二極管的特性.....	29
4-1. 伽伐尼位差和接触位差.....	30
4-2. 減速場电流方程式.....	32
4-3. 空間电荷电流方程式.....	36
4-4. 鮑和电流方程式.....	45
5. 吸附的外来物对金屬电子發射的影响.....	49
5-1. 外来物对逸出功的影响.....	49
5-2. 鋨的吸附(鎢鋐阴極).....	52
5-3. 銀的吸附(鎢銀阴極).....	55
5-4. 鈷的吸附(鎢鈷阴極).....	56
5-5. 氧的吸附(鎢氧阴極).....	57
5-6. 几种物質的同时吸附.....	58
6. 近面电场及其对逸出功的影响.....	60
第二章 金屬逸出功的量測法.....	72
7. 逸出功量測工作的重要性及其基本原理.....	72
8. 李查生直線法.....	75
9. 量热器法.....	81
10. 接触位差法.....	85
10-1. 开尔文法.....	86
10-2. 齐斯孟法.....	87
10-3. 交叉法.....	88

10-4. 特性曲綫位移法.....	91
10-5. 磁場法.....	92
11. 光電發射或場致發射的应用	93
11-1. 光電極限頻率法.....	95
11-2. 過止電位法.....	97
11-3. 光電直線法.....	97
11-4. 場致發射的应用.....	99
12. 逸出功的實驗数据及其與溫度的關係	160
第三章 离子固体中的現象	114
13. 离子固体的組成，以及其中的點陣缺陷	114
14. 扩散.....	120
15. 离子导电.....	124
16. 电子导电.....	128
17. 盈余半导体中电子的能量分布，以及电导率与溫度的关系.....	136
第四章 处在平衡状态的激活氧化層的發射机理	159
18. 氧化層的實驗詳情和物理常数.....	159
19. 作为盈余半导体的氧化層.....	166
19-1. 有盈余鋅存在的證明	166
19-2. 激活期間發生氧气的證明	169
19-3. 盈余鋅的位置	170
20. 盈余半导体的發射方程式.....	175
21. 逸出功量測法在氧化物阴極上的应用.....	185
21-1. 實驗詳情	185
21-2. 李查生直線法	188
21-3. 量熱器法	196
21-4. 光電法	197
21-5. 接触位差法	198
21-6. 逸出功与溫度的關係	203
22. 氧化層的电子电导率和內逸出功.....	204
23. 氧化物阴極表面的位壘(外逸出功).....	215
24. 窜連的現象	218
24-1. 光電發射	218
24-2. 二次發射	219
24-3. 冷光現象	221

第五章 成分不同的各种氧化層	226
25. 單純氧化物的發射	226
26. 混合氧化層的發射	230
26-1. 鐳土金屬氧化物的混合物	230
26-2. 鐳土金屬氧化物和其他金屬氧化物的混合物	241
27. 多層陰極和他激式陰極	243
27-1. 多層陰極	243
27-2. 他激式陰極	245
27-3. 对于复合阴極的結論	248
28. 氧化層成分的不均匀性对發射的影响	251
第六章 氧化層平衡状态的改变	259
29. 激活	259
29-1. 还原激活	260
29-2. 通电激活	266
29-3. 电子轰击激活	268
30. 关于激活完全的氧化层中平衡状态如何变动的實驗詳情	268
30-1. 温度改变的影响	269
30-2. 阳極电压改变的影响	270
30-3. 使平衡状态改变的过程	273
31. 氧化層表面發生的过程	276
31-1. 盈余鋇的蒸發	276
31-2. 离子發射	277
31-3. 陰極中毒	278
32. 在氧化層和基金屬的界面上發生的过程	292
33. 氧化層內部發生的过程	301
33-1. 离子导电	302
33-2. 扩散	303
34. 各种过程并發的結果,以及它們对發射和寿命的影响	306
附录 氧化物阴極發射电流的起伏現象(閃变效应)	316
参考文献	320
人名对照表	323
名詞索引	329

第一章 金屬的热电子發射

1. 金屬中电子能量的費密-狄拉克分布

关于电子發射的問題，可以用热力学法来处理，也可以用統計法来处理。序言中已經指出，在本書中，为了避免混淆起見，只預備采用其中的一种方法。我們采用了統計法，因为在处理具体的發射問題时，这种方法能够使我們对电子的行动获得比較清楚的概念。在这种方法中，假定电子的能量完全是靜电能量，并且把电位标繪法和統計微积分結合起来。应用这种方法时，一开头就用到量子論的概念，至于經典定律，仅仅在必要时，为了使理解完整起見，方才加以討論。

第一个預備討論的問題，是洁淨金屬表面的發射問題。适用于这种發射現象的定律，必須从金屬內部电子分布的情况推导出来。这样的金屬，是由彼此相同的許多原子，按照一定的几何形状排列而成。根据波尔学說，每一个原子的正核心，帶着 Z 个无电荷，周圍环绕着 Z 个电子。每一个电子都具有一定的能量，能量的多寡，隨該时原子的状态而定。波尔学說的主要論点是：电子可能具有的能量，仅仅局限于若干不連續的数值。这些能量值，可以从各种原子光譜推算出来。我們可以采取一个方便的办法，用若干能級来代表这些能量，使得能級之間的距离，与对应能量之間的差值相当。圖 1 表示一个典型的范例。这些能級可以划分为若干小組，分別用阿拉伯数字来标志，数字 1 表示能量最低的一組。这些数字称为主量子数。同一組內的各个能級，用小写字母，按 $s, p,$

d , f , g 等等的次序來標志，這些字母稱為角量子數。屬於同一小組的能級數量，等於該小組的主量子數。組合的形式如下：

$1s$; $2s$; $2p$; $3s$; $3p$; $3d$; 等等。

隨著主量子數的增大，能級向某一上限收斂，這一上限和光譜綫系的極限相對應。如果電子的能量超過這一極限，它就與原子分離，於是，這個原子就電離了。

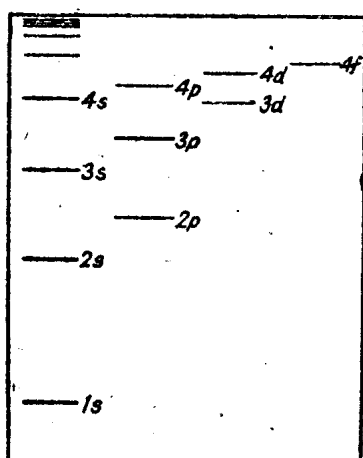


圖 1. 概略圖

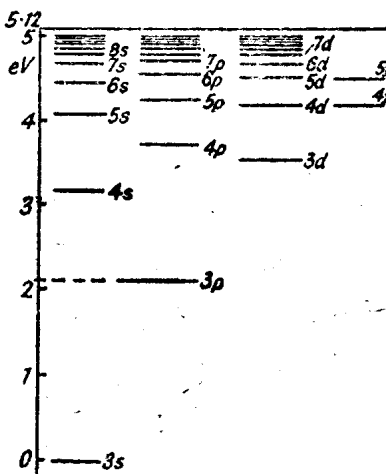


圖 2. 對鈉而言(外圍電子)

圖 1—2. 一個原子的電子能級。

實際上，能級的絕對值還不如能級的差值那樣重要。能級的差值，決定電子從一個能級轉移到另一個能級時所經歷的能量變化。所以，我們不妨採用任何一種方便的方法，任意規定能級的絕對值。能量差值的單位，可以用瓦秒或電子伏特，1 電子伏特（簡寫為 eV），相當於一個電子經過 1 伏特電位差時的能量變化。一般而言，以電子伏特為單位的能量，將用希臘字母 ϕ , χ , ψ 等等來表示，至於與此對應的，以瓦秒為單位的能量，則用字母 E_s , E_x , E_v 等等來表示。如果電子電荷用 e 表示，那末，

$$E_\phi = e\phi$$

$$E_\phi \text{ (瓦秒)} = 1.60 \times 10^{-19} \phi \text{ (电子伏特)} \quad (1)$$

圖 2 表示鈉原子在第三組以上的能級差值，作为一个范例，这些差值是用电子伏特为單位的。

像这样用能級来表示电子能量的方法，使我們对电子的能量分布能够作圖像式的表示。例如，我們說：“某一个能級被一个电子占据”，意思就是說：“这个电子的能量和这一能級相当”。同样，如果我們說：“一个电子从某一个能級轉移到另一个能級”，意思就是說：“这个电子的能量，从相当于前一能級的数值，变为相当于后一能級的数值”。因为这种說法簡單明了，所以常被采用，但是我們不要忘記它所象征的意义。

Z 个电子在各个能級之間的分布情況服从包利原理。根据包利原理，一个孤立系(例如一个金屬原子)的每一能級，只能容納一定數量的电子。这个數量称为容占額 G ，它与角量子数的关系如下：

角量子数	容占額 G
s	2
p	6
d	10
f	14

这样， s 态至多能被两个电子占据， p 态至多能被六个电子占据，如此类推。容占額之所以存在，是电子具有角动量（电子自旋）的結果。这个角动量（以及屬於电子轨道的动量）在磁场中的位置，仅有一定的數量。这个數量就是上述的容占額 G 。

如果拿处在基态的原子来講，这时电子具有的能量，是最小的可能值；于是，根据包利原理，对于每一个原子序数 Z ，都能求出电子在各个能級之間如何分布的一定規律。表 1 中汇列了周期表中第二列元素的分布規律。

表 1

元 素	各 个 能 级 的 电 子 数					
	1s	2s	2p	3s	3p	3d
鈉 (Na)	2	2	6	1	—	—
鎂 (Mg)	2	2	6	2	—	—
鋁 (Al)	2	2	6	2	1	—
硅 (Si)	2	2	6	2	2	—
磷 (P)	2	2	6	2	3	—
硫 (S)	2	2	6	2	4	—
氯 (Cl)	2	2	6	2	5	—
氩 (Ar)	2	2	6	2	6	—

当 N 个金屬原子 (N 的数量很大) 合并成为固体时, 它們是按照有規律的几何形状結合的, 构成所謂晶体点陣。在构成晶体点陣的过程中, 电子能量發生什么变化呢? 对于点陣系來講, 包利原理也一样适用。根据包利原理, 各个單原子中, 处在同一能級并用同一量子数表示的这許多电子, 在金屬点陣中不可能占据同一能級。因为每一能級的容占額不能大于 G , 所以結晶以前数值相同的各个能級, 在結晶以后就不再是相同的了。因此, 对于具有某一主量子数和角量子数的固体金屬能态而言, 就出現了 N 个能級, 这些能級互相靠近, 构成一条能帶, 不再像單原子中那样是一个單独的能級了。圖 3 中概略地表示了造成的情况。現在所得到的, 不再是單原子的能級圖(參閱圖 1), 而是一幅与其对应的能帶圖, 能帶的寬度, 随着主量子数的增大而增大。关于能帶的确实位置, 还不十分清楚, 已經知道的是, 最外層能帶的寬度和間隔的数量級是若干电子伏特。

在圖 3 中(該圖是对鈉而言), 最高的被占能帶 ($3s$ 帶) 仅仅被电子占据了一半。这是由于鈉只有一个 $3s$ 电子, 而 $3s$ 帶的容占額 $G = 2$ 。 $3s$ 帶沒有全部被占, 这一事实, 可以用来解釋鈉的导电性

能(在外加電場作用下,電子能够流动)。最容易的解釋方法,是从最高能帶全部占滿的元素着手。根據包利原理,占据每一能級的電子數量不能超過 G 。既然每一能級都已占滿,如果某一個電子從一個能級轉移到另一個能級時,必然會引起另一個電子作大小相等方向相反的能級變換。因此,電子不可能朝某一固定的方向作集體運動。所以,在一條全部占滿的能帶中,不能產生導電現象。但是,對於一條沒有全部占滿的能帶而言(例如鈉,就有這樣的能帶),情況却完全不同。在 $3s$ 帶中,接近已占部分的邊界的電子,可能因外加電場的作用而獲得更多的能量,從而進入邊界以上尚未占據的能級中。然後,騰空的能級可能被能量較低的電子占據,這些電子在同一外加電場的作用下,移入騰空的能級。這樣,就發生了一定方向的電子流動,產生了電子導電現象。所以這種導電現象,只有在最高能帶尚未占滿的元素中才能發生。能帶全部占滿的元素,必然是絕緣體。

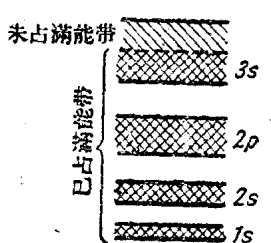


圖 3. 鈉

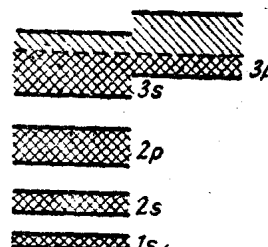


圖 3—4. 金屬的能帶。

如果拿周期表中鈉以下的元素(鎂)來討論,就會遇到困難。鈉原子中沒有第二個 $3s$ 電子,而在鎂原子中却有這個電子,驟然看來,似乎最高能帶將被占滿,這樣,電子導電現象就不可能發生了。這一點是和事實不符的,因此,我們必須設法解釋這個矛盾。為了克服這個困難,我們假定,在這種情況,以及其他與此類似的

情况，若干高级能带是互相重叠的，如图 4 所示。 $3s$ 带的上限高于 $3p$ 带的下限，因此，在这两条能带中，有一系列能级的高度几乎是相等的。因为能量最小的能态总是最最稳定，所以，处在基态的电子，将分别占据这两条能带，两者最后达到的能级高度是相等的，这一最高能级在图 3 中用虚线表示。因此，在这两条互相重叠的能带中，还有一部分没有占据，这样，就有可能产生电子导电现象了。

到这里为止，我们所讨论的原子，都是指处在基态（能量最小的状态）而言。这种能态仅仅在绝对温度零度时方始存在，这时，某一极限能级以下的各个能级全部都被占据。极限能级的高低，决定于电子的总数。对金属而言，这一极限能级位于某一能带的内部（参阅图 3 和图 4）。

温度不是绝对零度时，情况又是怎样呢？这时，一部分电子获得较多的能量，从 $T=0$ 时所占的能级，转移到较高的能级。温度升高以后，各个能级间电子分布的情况服从量子统计法的三种形式之一，这种统计法按发明人姓氏而命名，称为费密-狄拉克统计法。波耳兹曼经典统计法包括在这种统计法内，它是后者的一种特殊情况。此外，这种统计法还包涵了量子论中两条新颖的原理。第一是包利不相容原理，这在讨论能级容占额时已经谈过了。第二是波色和爱因斯坦的不可区别原理。根据这一原理，我们只能从能量和位置的不同来区别各个电子，但不能从每个电子本身特征来区别它们。这样，如果有两种电子分布情况，这两者的区别，仅仅在于电子与电子间的能级对换，那末，在物理学和统计学中，这两种分布必须看作是等同的。例如，拿图 2 中的钠原子来讲解，假设有两个电子处在 $3s$ 能级，另一个电子处在 $3p$ 能级。假设有另一种与此相反的能态，这两个电子的能级互相对换了。对于这两种能态，用实验物理学的方法，是不能区别的。因此，在费密